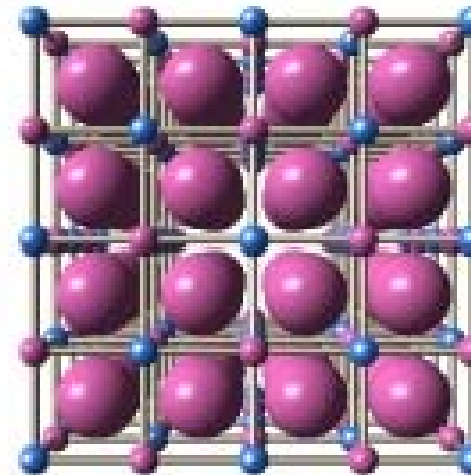
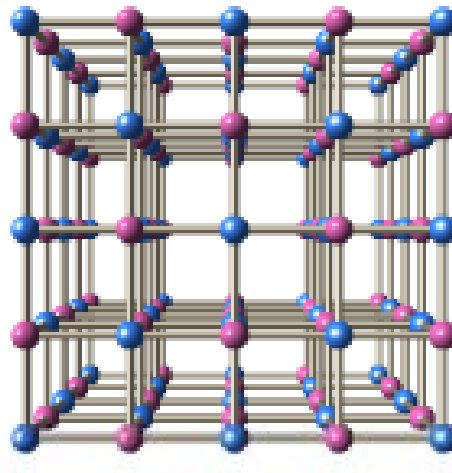
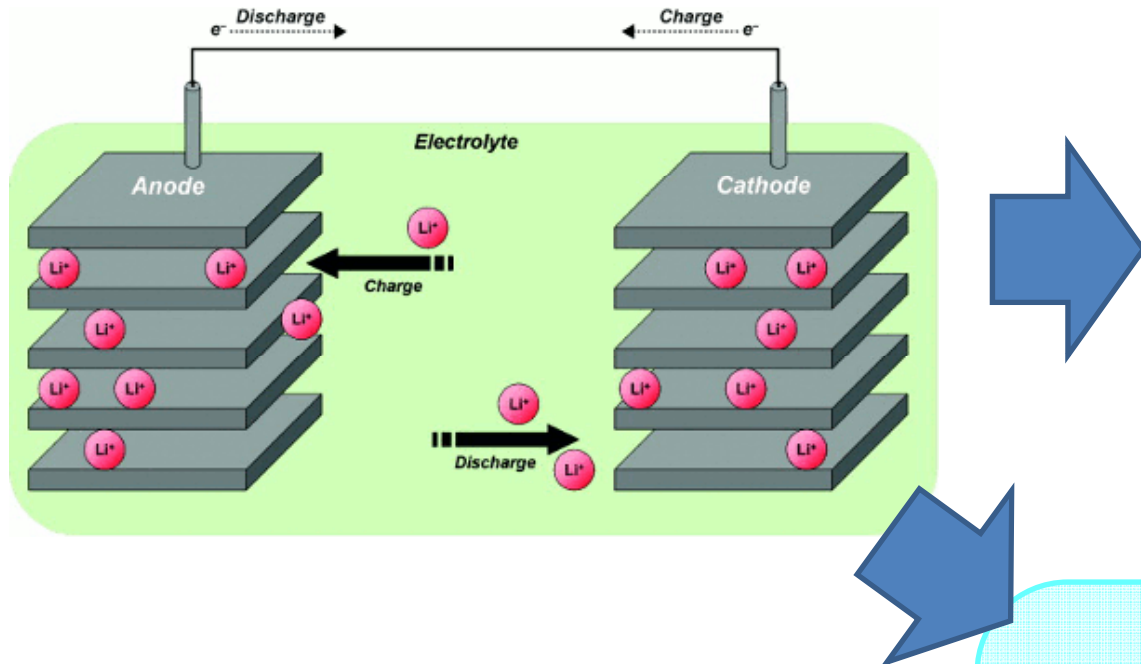


ポリマー型正極材料と 界面状態の計測



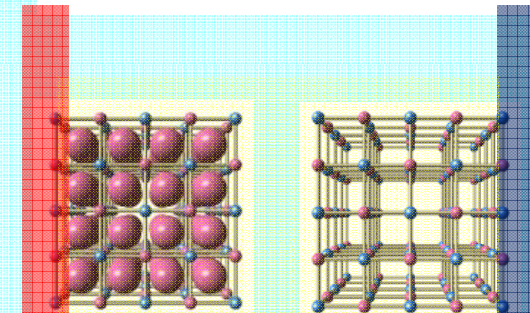
守友 浩
筑波大学

リチウムイオン電池



エネルギー貯蔵
↓
物性スイッチ

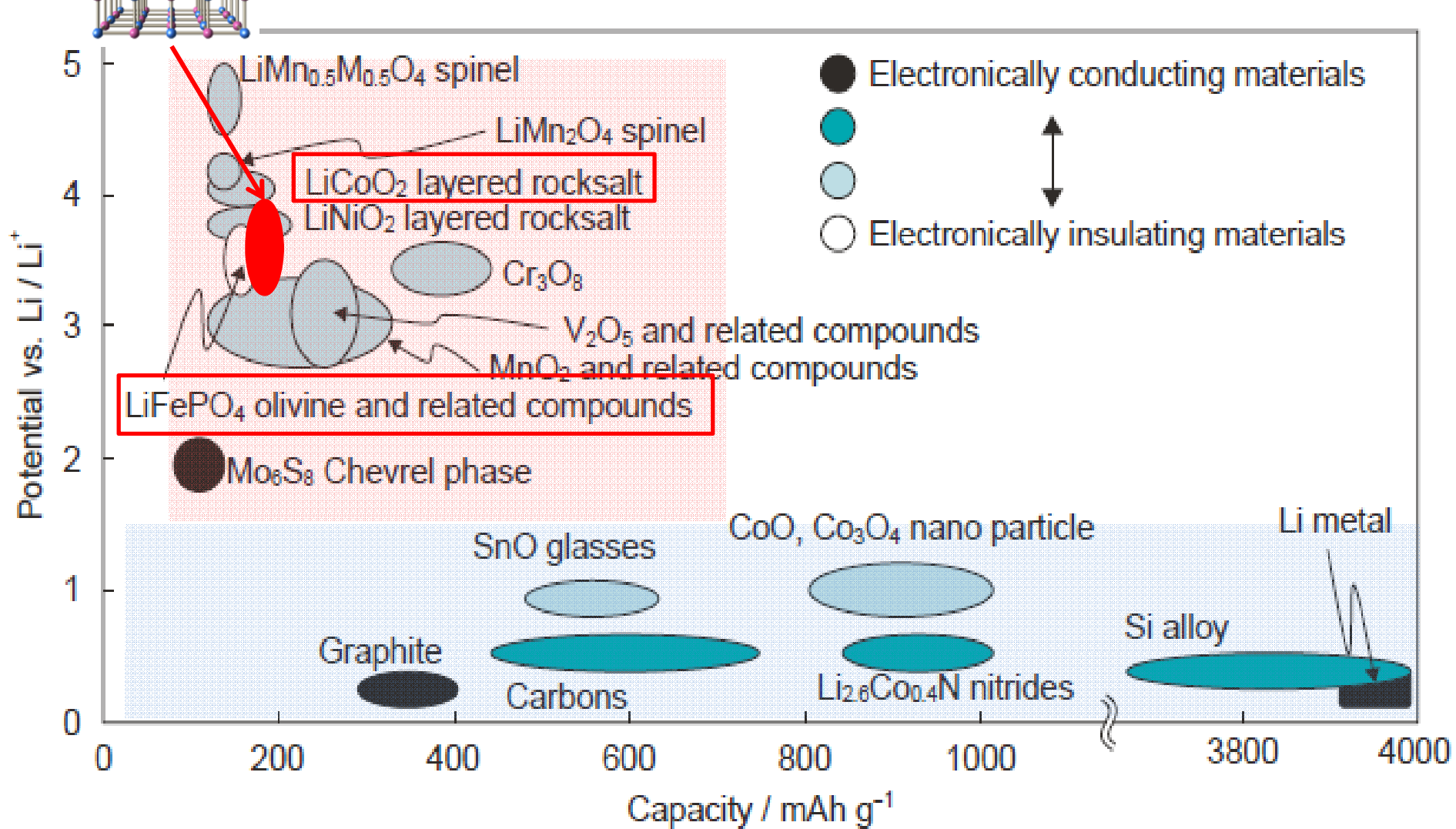
リチウムイオンメモリ



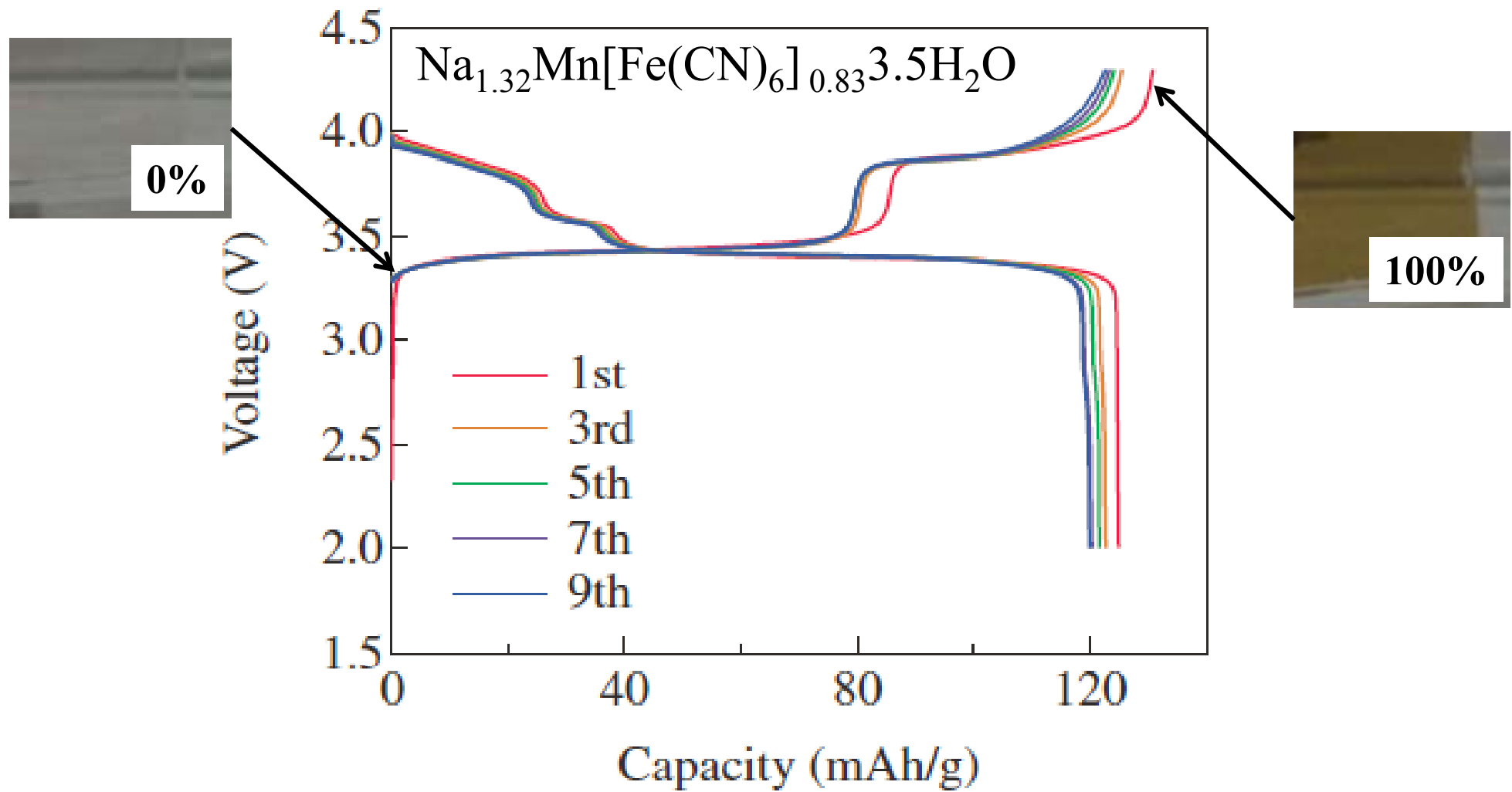
電圧印加で磁性・SHG活性・歪みの制御

Y. Moritomo, et al., APL94(2009)043502

正極材料と負極材料

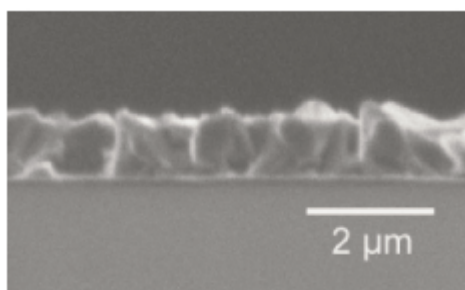
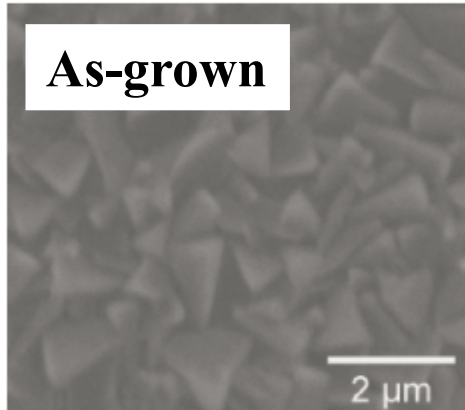


ポリマー型正極材料

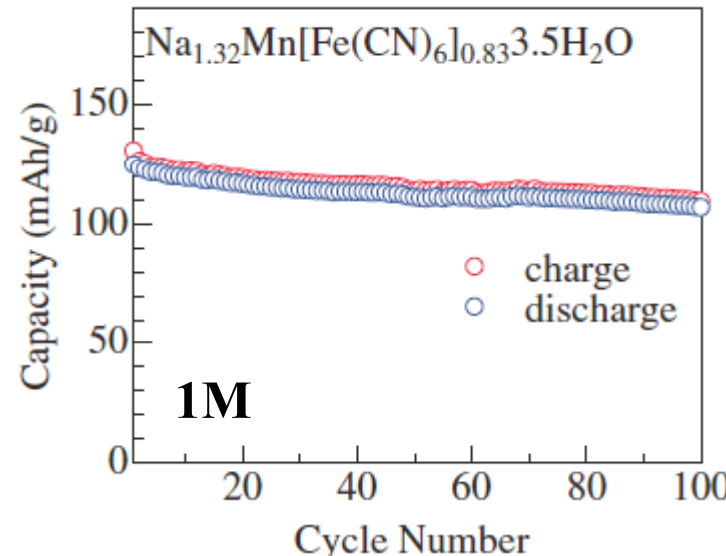


T. Matsuda, et al., APEX4(2011)047101

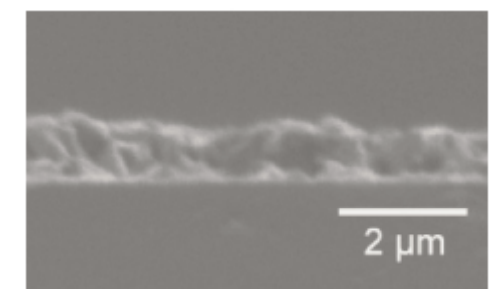
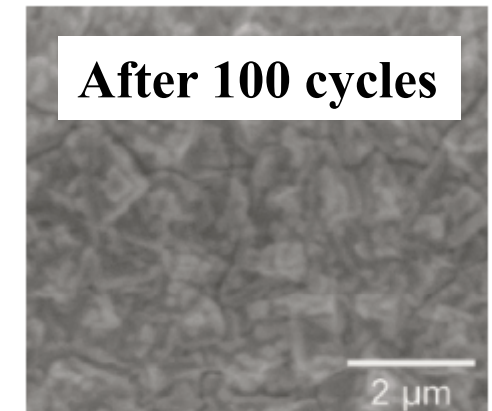
堅固なネットワークとグレイン



The Film consists of large crystalline grains (~1μm).



- Large capacity (128mAh/g)
- Good cyclability (87% of the initial value after 100 cycles).



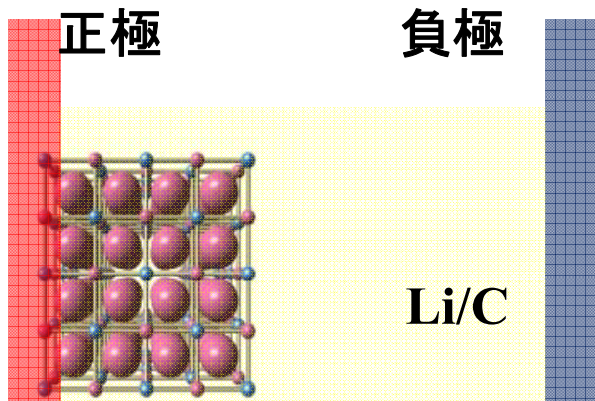
Overall grain structure is the same as the as-grown film. but edge regions are rounded and small **particles** are observed on the faces.

ポリマー型正極材料

1. 新しい材料系である。
2. 『カラー電池』という機能性を付加している。
3. 次世代正極材料としては、容量のインパクトにかける。
4. バインダーフリーであるので、リチウムイオン電池の精密科学には、貢献する。

薄膜型電極の先にあるもの

(a) リチウムイオン電池

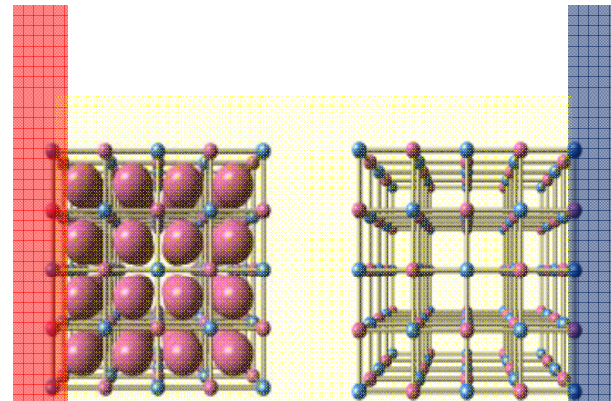


電解質溶液



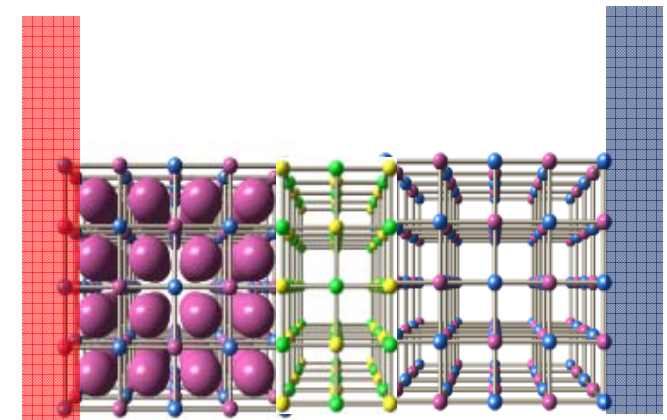
2011/10/14-15

(b) リチウムイオンメモリ



磁性スイッチ
SHGスイッチ
歪みスイッチ

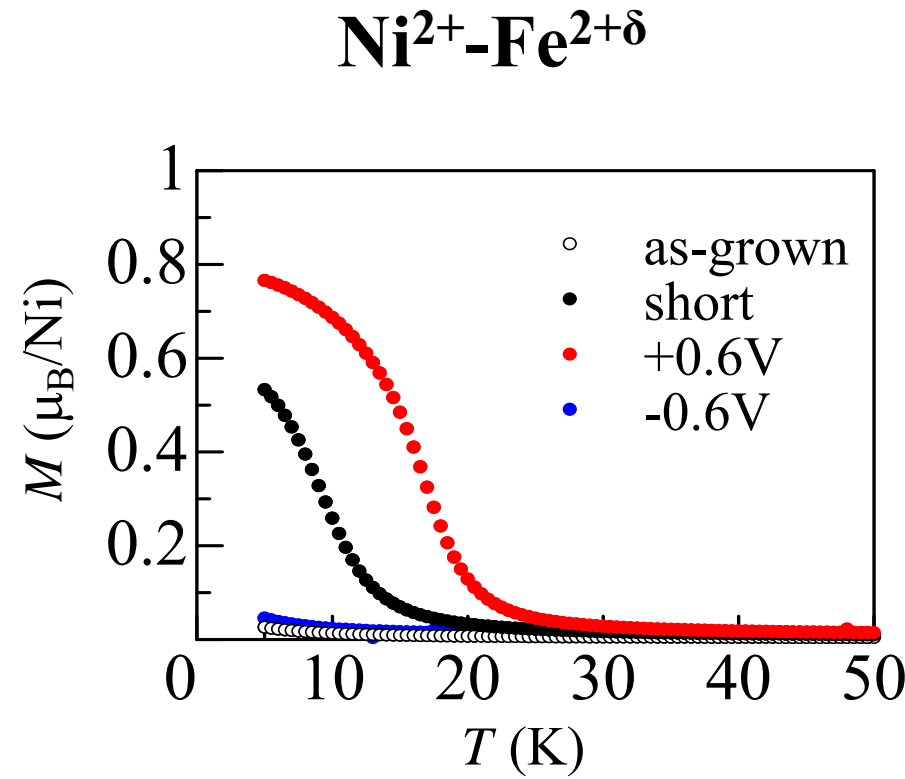
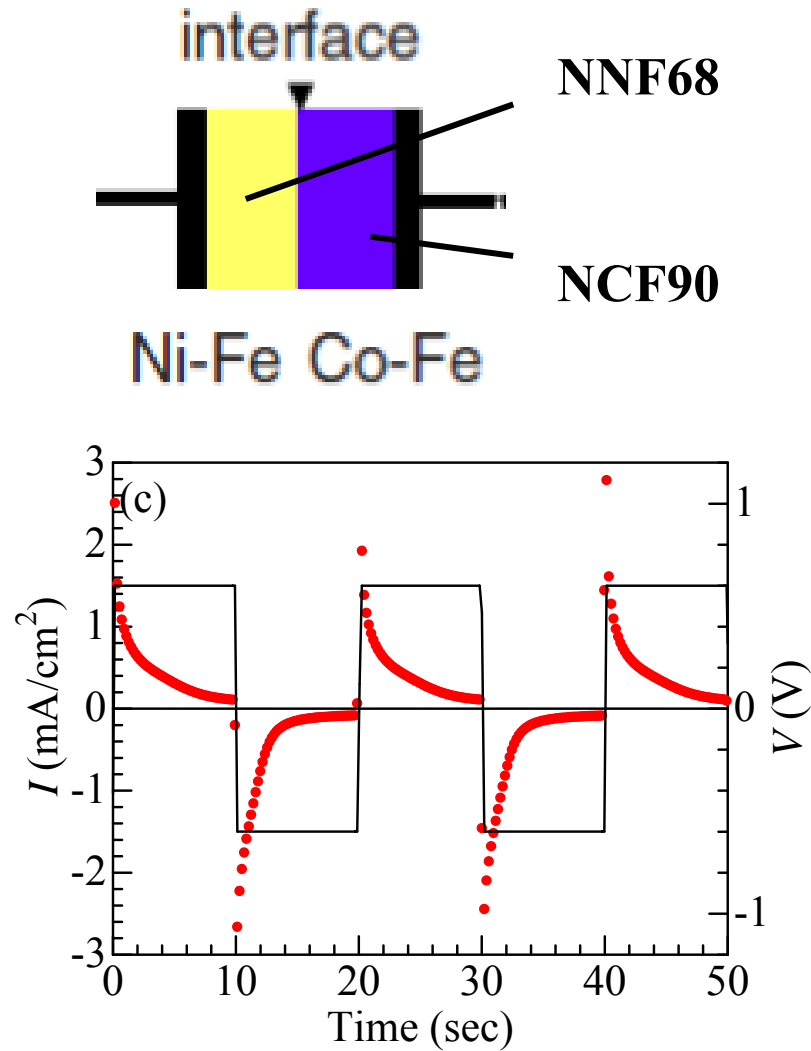
(c) 全固体イオンメモリ



エピ界面の構築が不可欠

磁性薄膜・多層膜を極める@PF

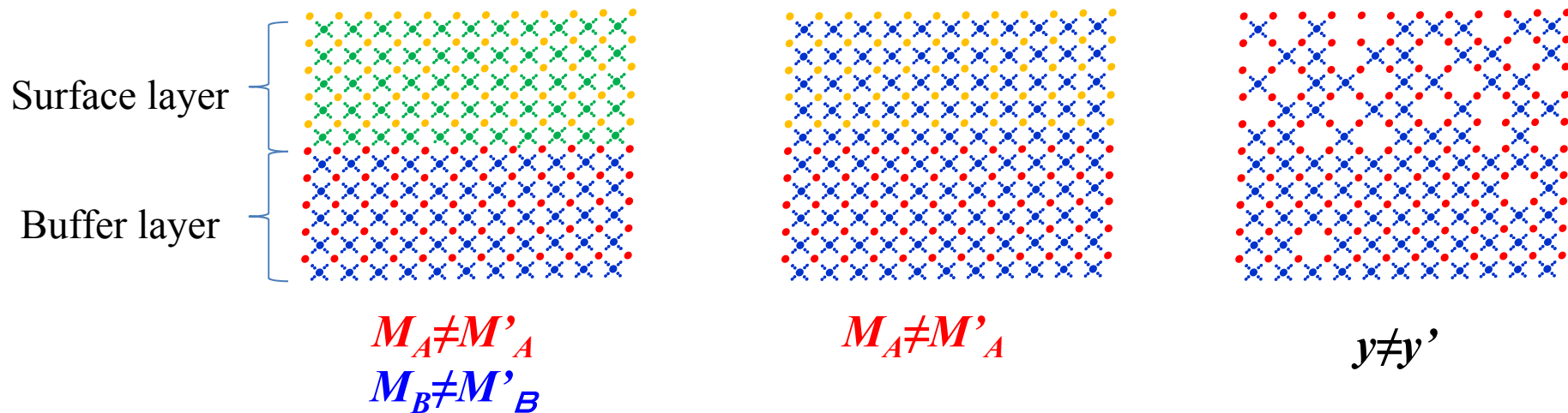
イオンメモリの例：磁性スイッチ



Y. Moritomo & T. Shibata, APL94(2009)043502

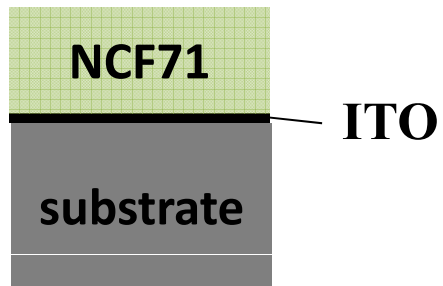
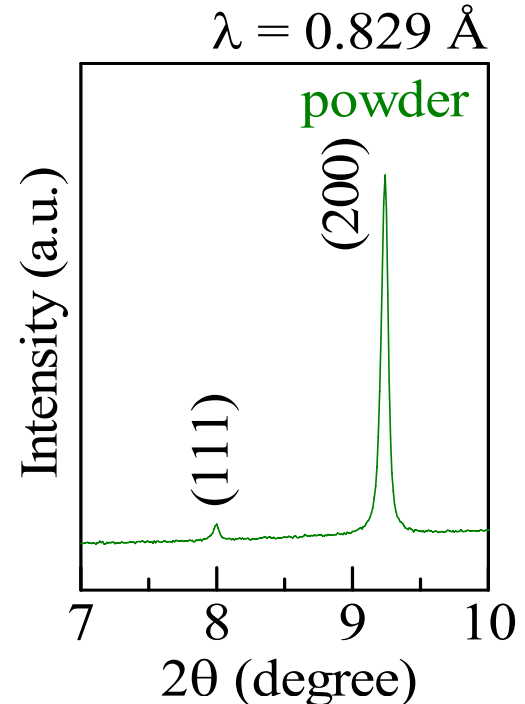
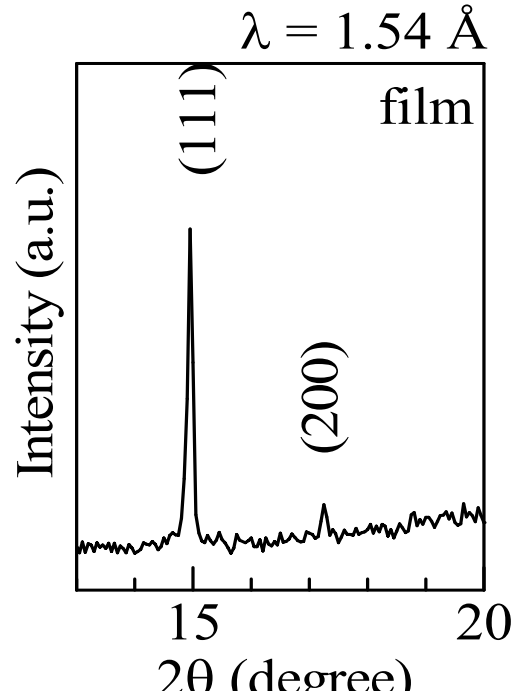
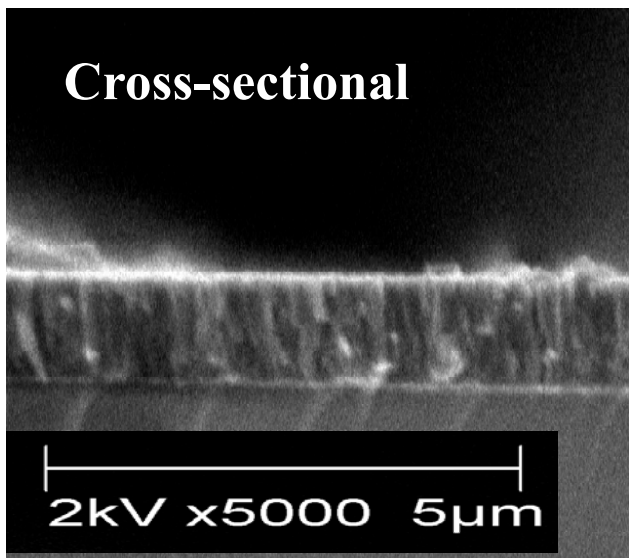
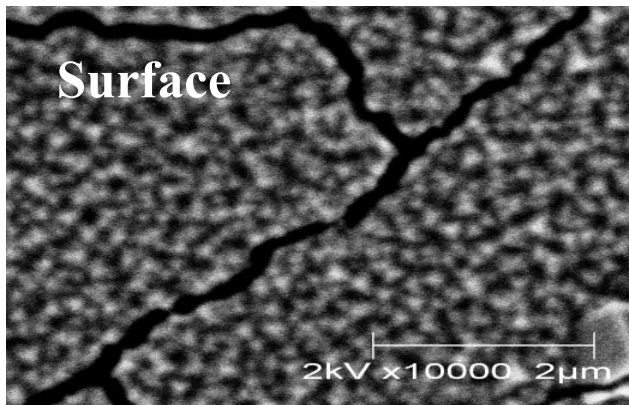
Epitaxial interface

1. Epitaxial interface increases the contact area and reduces the response time.
2. Epitaxial interface causes a new electronics in molecular system.



Structure of buffer layer

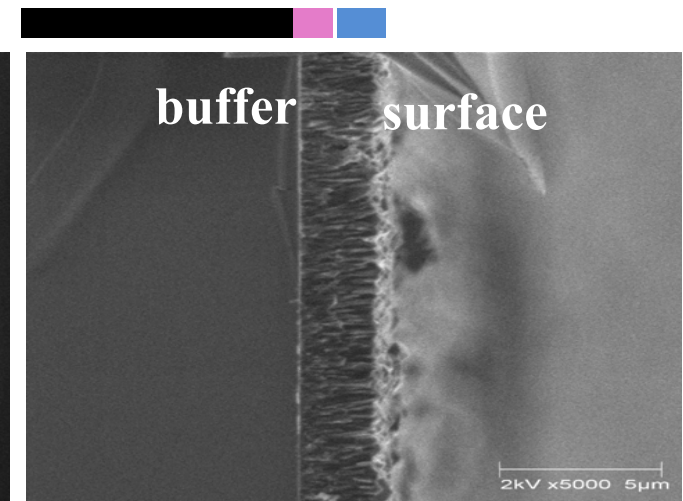
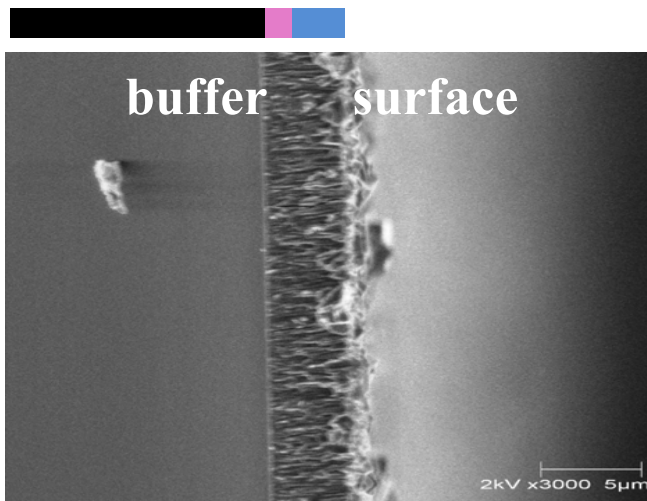
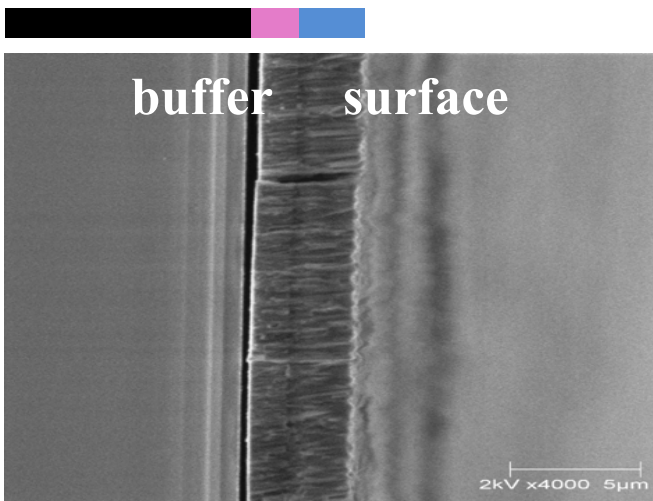
NCF71



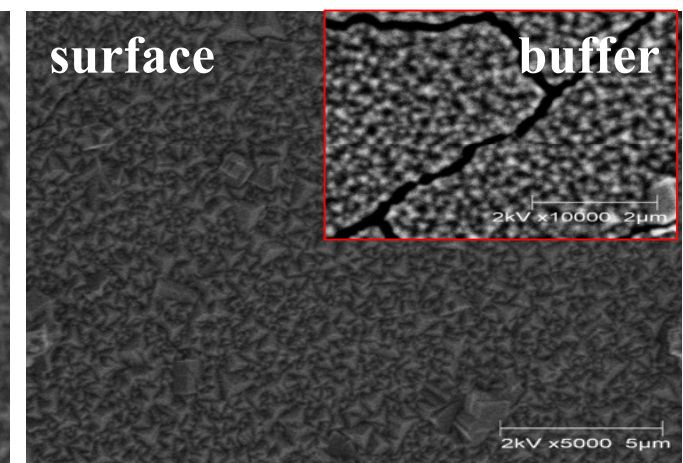
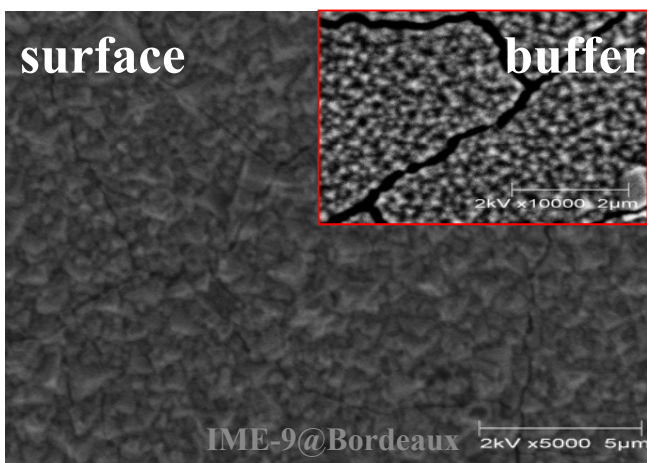
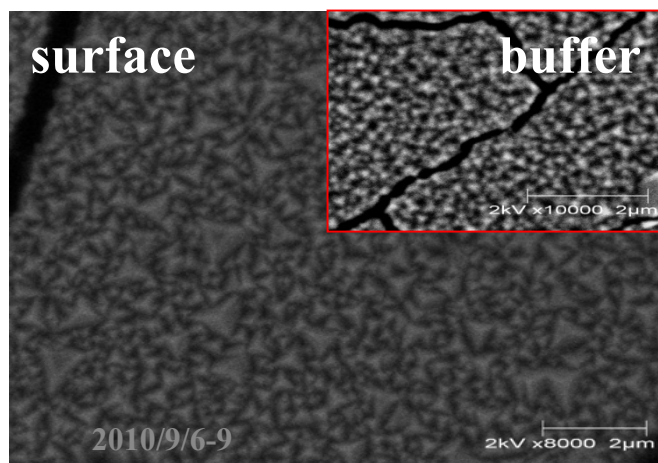
SEM image of by-layer film

NCF71/Fe-Cr

Cross-sectional SEM

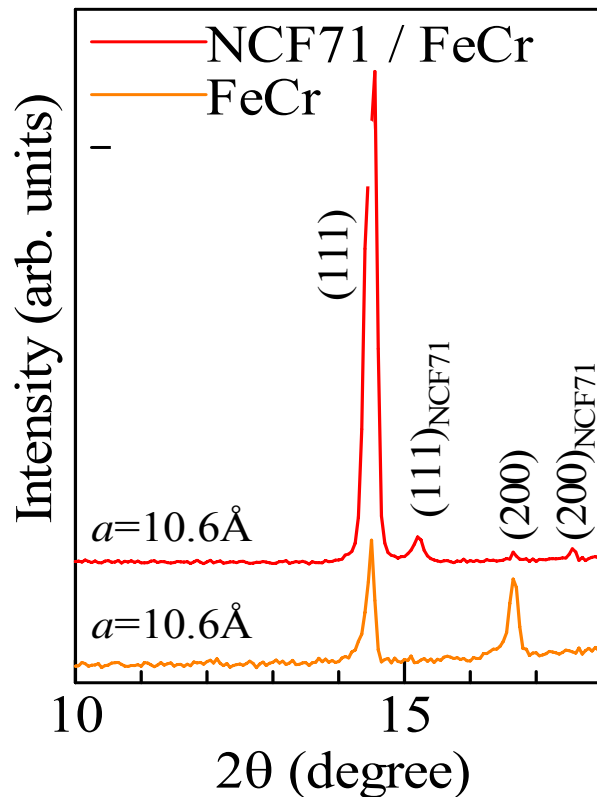


Surface SEM

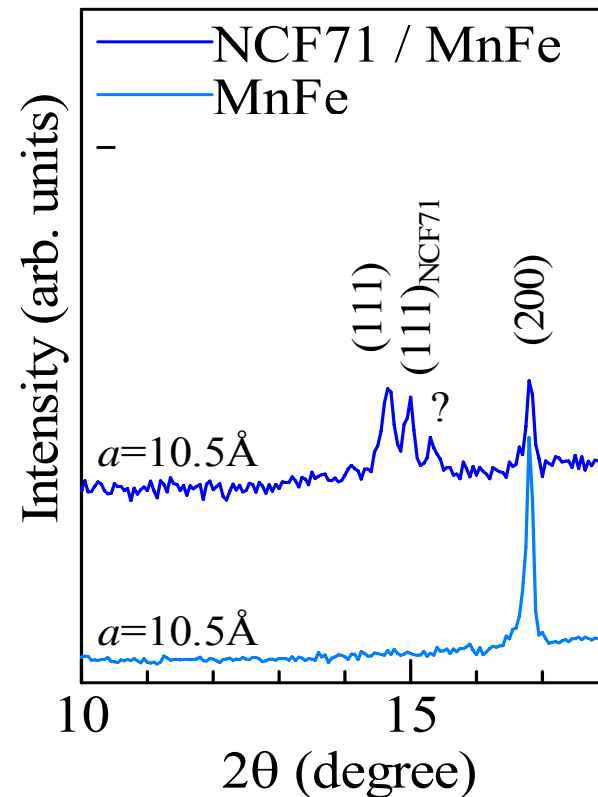


XRD pattern of mono-/bi-layer film

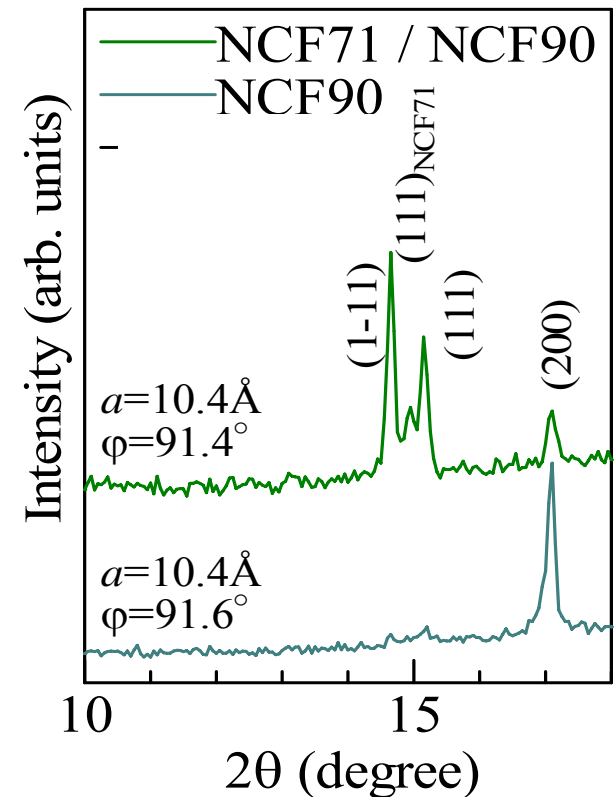
NCF71/Fe-Cr



NCF71/Mn-Fe



NCF71/NCF90



Cubic

Cubic

Rhombohedral

Quantitative analysis of film orientation

Measure of orientation

$$S = \frac{v_{200}^{film}}{v_{111}^{film}}$$

v_{hkl} : volume fraction

The smaller S is, the higher the orientation is.

For powder diffraction, $\cdots \cdots$

$$\frac{|F_{200}|^2 m_{200} \cdots}{|F_{111}|^2 m_{111} \cdots} = \frac{I_{200}^{powder}}{I_{100}^{powder}}$$

$$\therefore) \frac{v_{200}^{powder}}{v_{111}^{powder}} = 1$$

Intensity ratio of Bragg reflection

$$\frac{I_{200}^{film}}{I_{111}^{film}} = S \cdot \frac{|F_{200}|^2 m_{200} \cdots}{|F_{111}|^2 m_{111} \cdots}$$

F_{hkl} : structure factor

m_{hkl} : degeneracy

$$\therefore S = \frac{I_{200}^{film}}{I_{111}^{film}} \cdot \frac{|F_{111}|^2 m_{111} \cdots}{|F_{200}|^2 m_{200} \cdots} = \frac{I_{200}^{film}}{I_{111}^{film}} / \frac{I_{200}^{powder}}{I_{111}^{powder}}$$

Results

	buffer layer	Surface layer		
	NCF71	Fe-Cr	Mn-Fe	NCF90
mono-layer film	200	17	5	5
bi-layer film	200	500	170	200

S-values of the surface layers are small as that of the buffer layer.

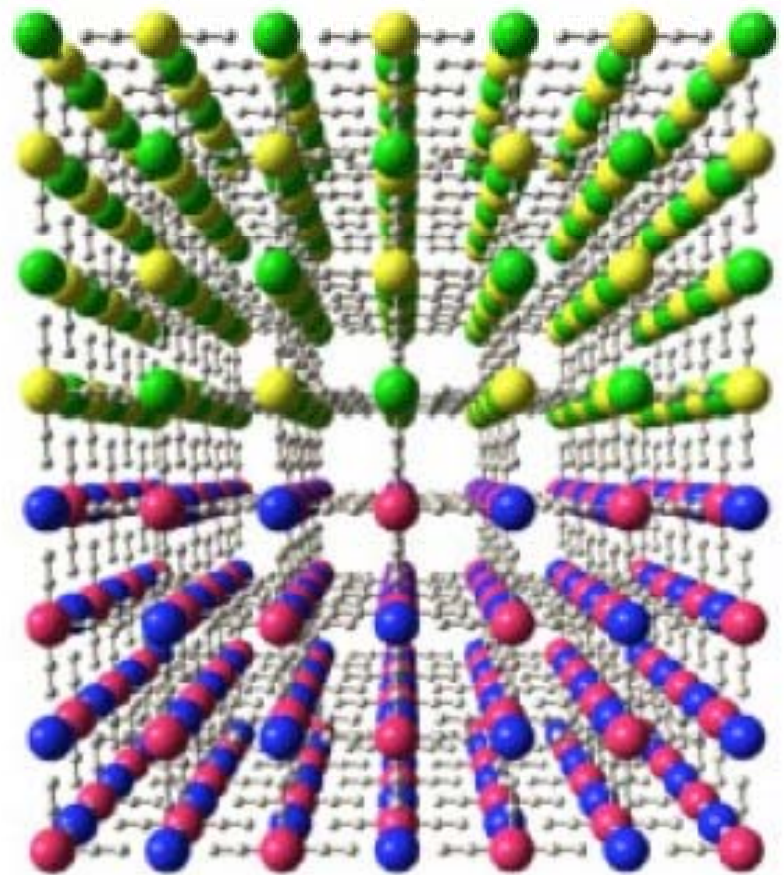


Epitaxial growth is successful!

Y. Kurihara, et al., JJAP50(2011)060201

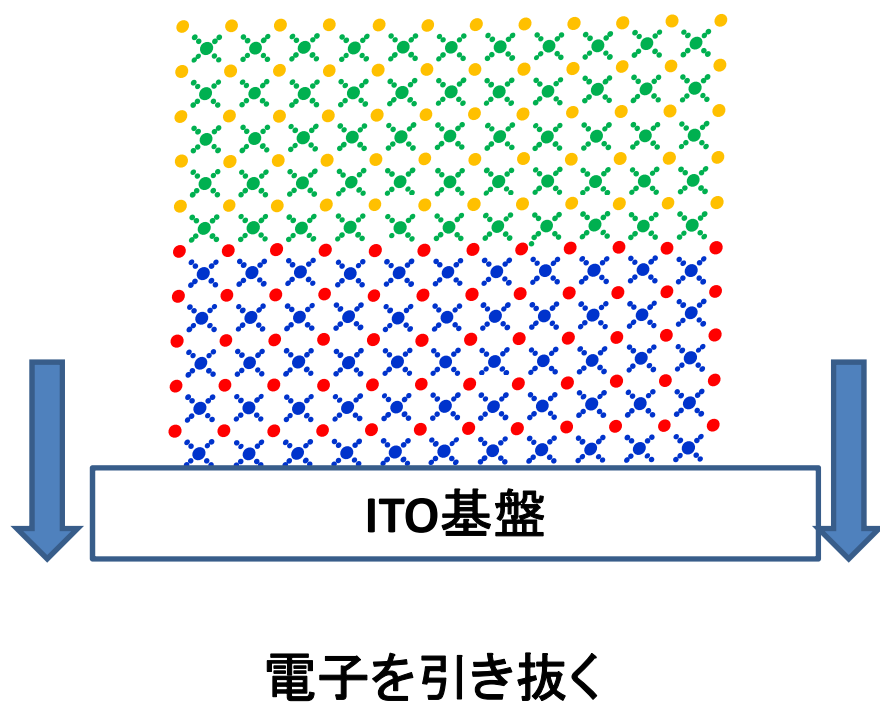
エピ界面

1. バッファーをかませて膜質向上
2. 膜形態の制御
3. 超格子の作製
4. 界面の電子状態の利用

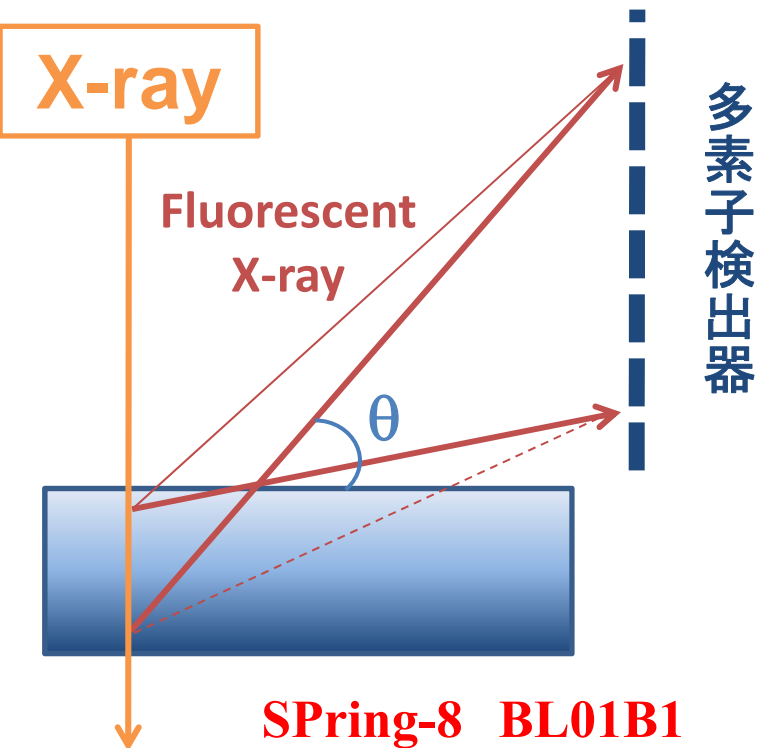


エピ膜の酸化プロセス

どちらの層から抜けるのか？

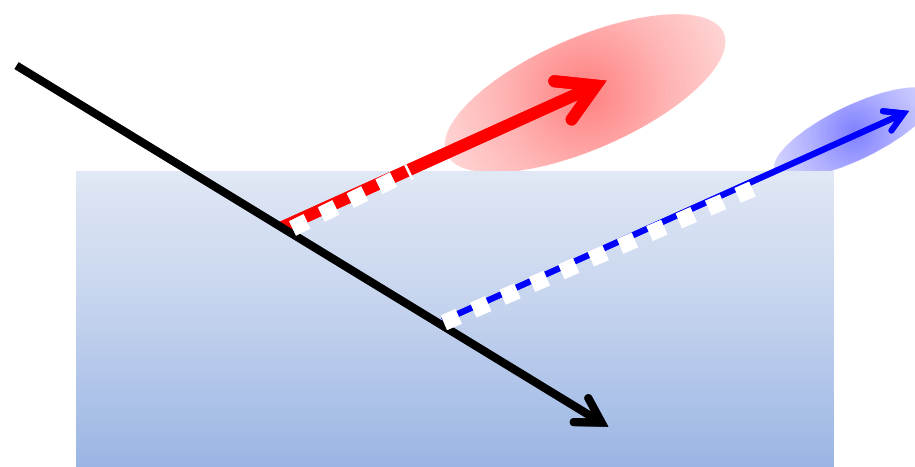


斜出射深さ分解XAFS法

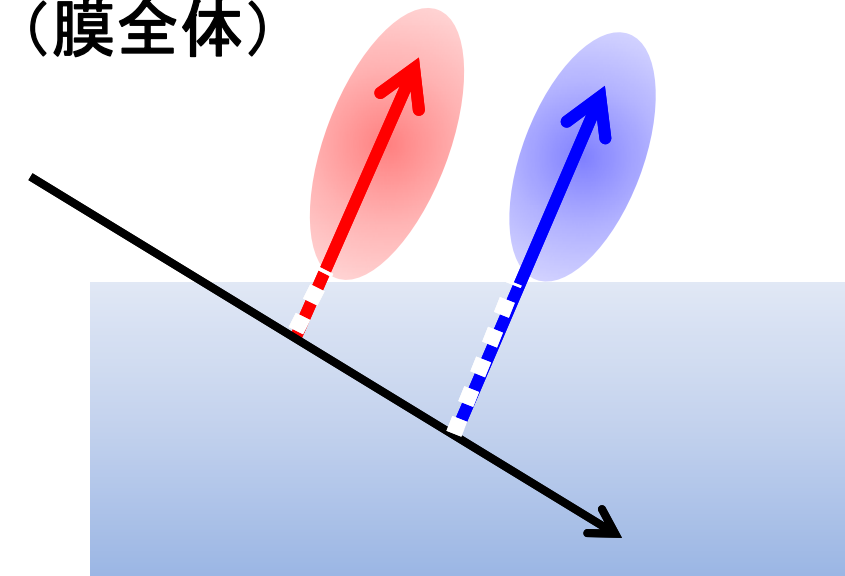


斜出射深さ分解XAFS

深い角度
(表面成分)



深い角度
(膜全体)



$$dI = I_z e^{-\mu z / \sin \theta} dz$$

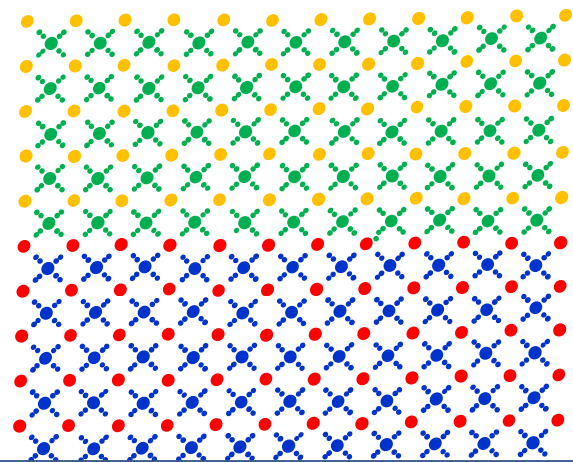
I_z : 深さzにおける単位深さあたりの蛍光X線強度

μ : 蛍光X線の吸収係数

θ : 出射角度

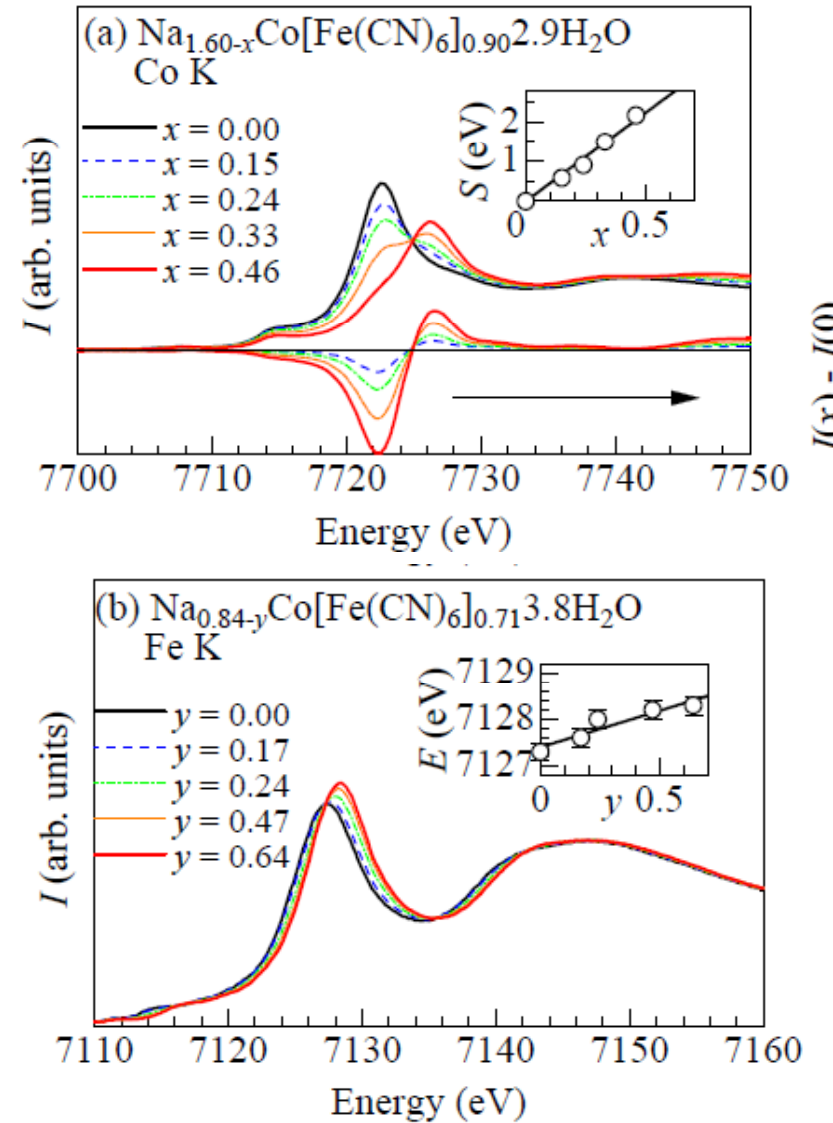
試料

Surface layer
NCF90 200nm $\text{Co}^{2+} \rightarrow \text{Co}^{3+}$



ITO基盤

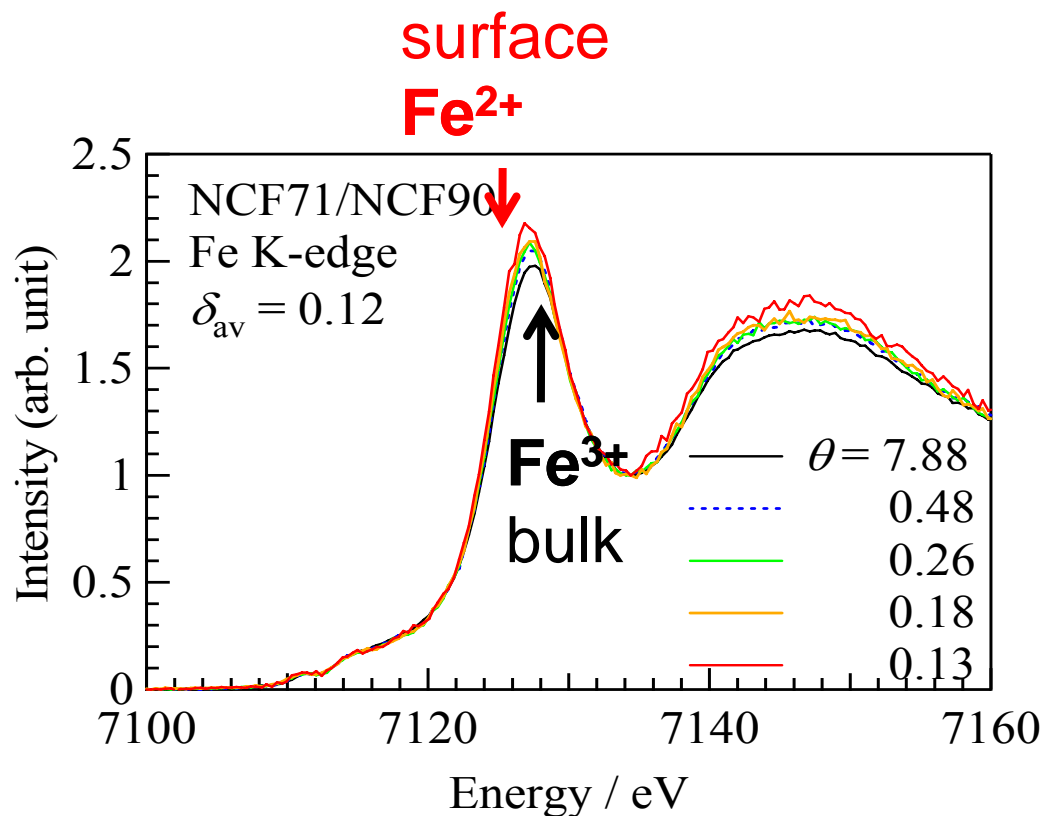
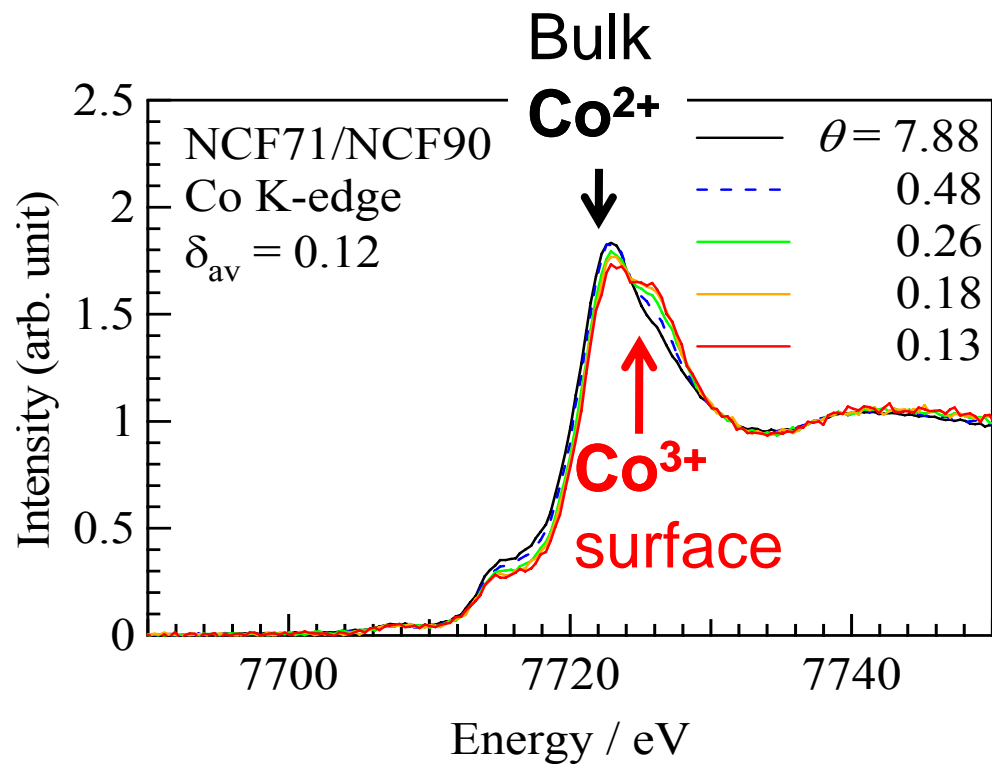
Buffer layer
NCF90 2200nm $\text{Fe}^{2+} \rightarrow \text{Fe}^{3+}$



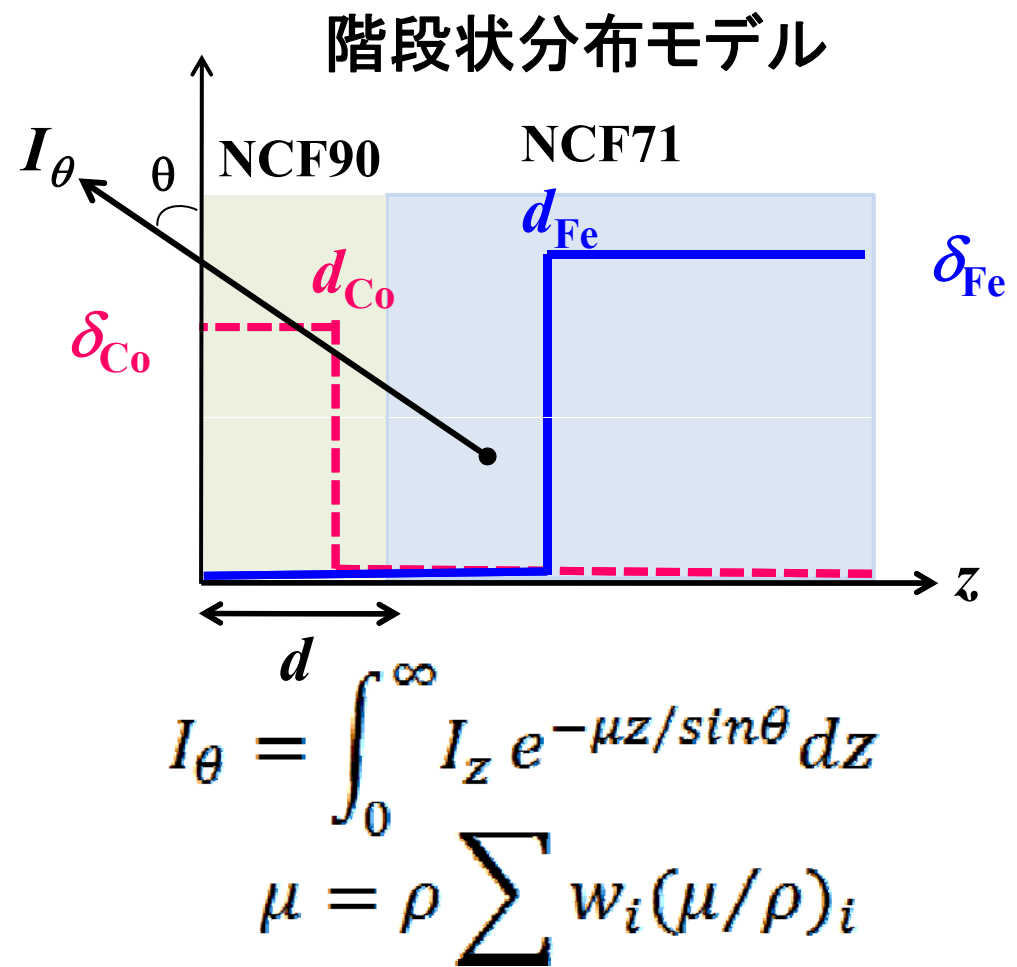
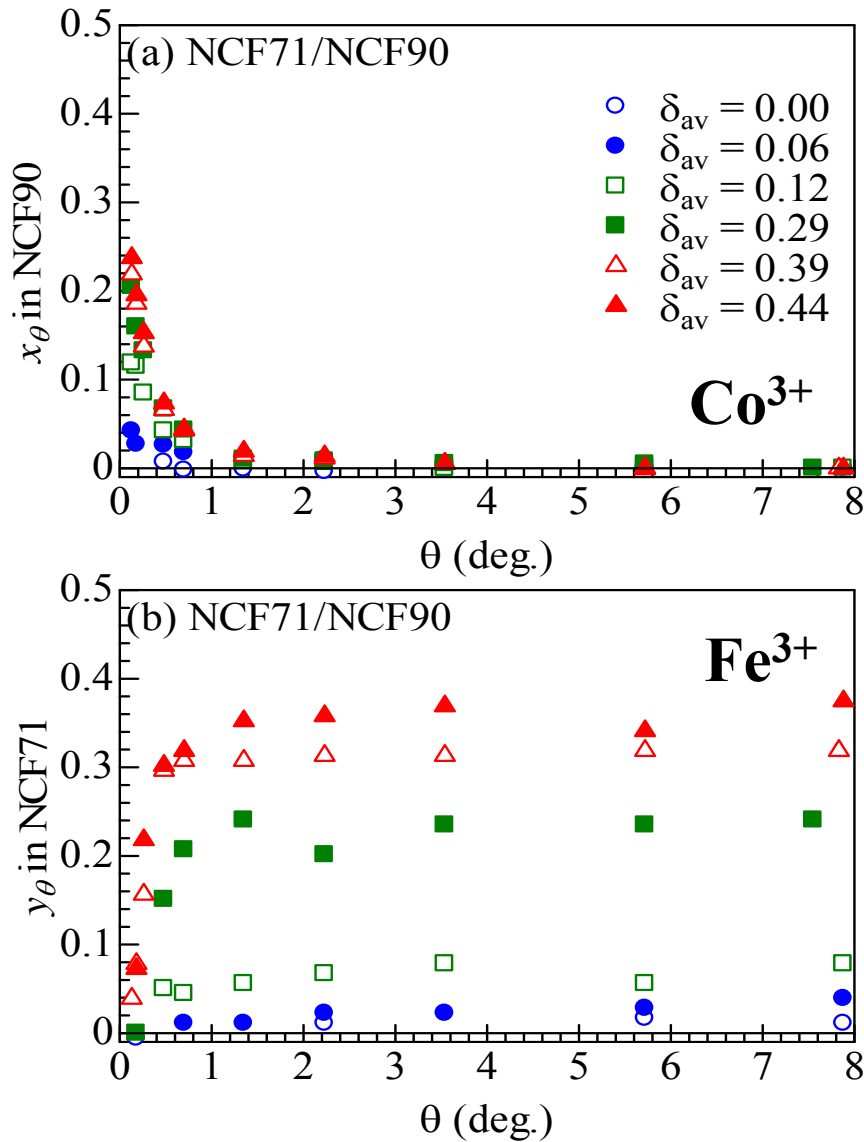
NCF71/NCF90の角度分解スペクトル

δ_{av} : 膜全体のカチオンの平均濃度

θ : 蛍光X線の出射角度



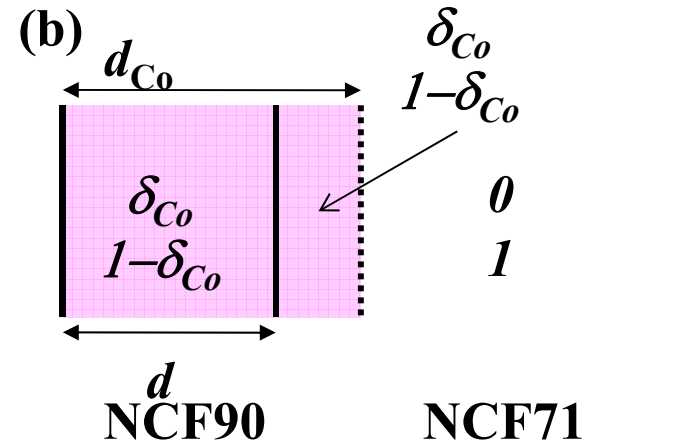
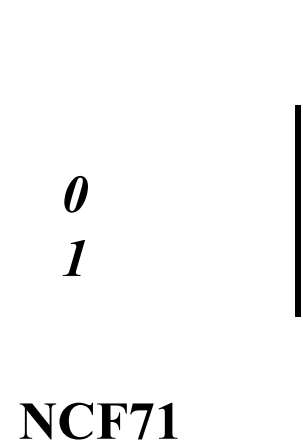
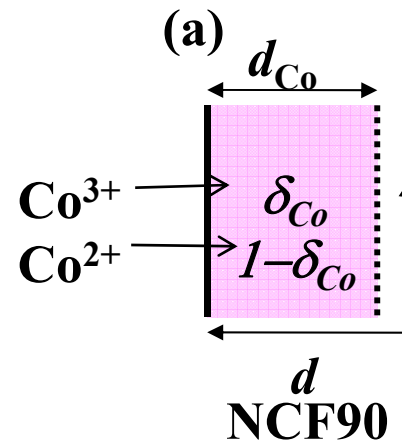
見かけの価数の角度依存性



< モデルの詳細 >

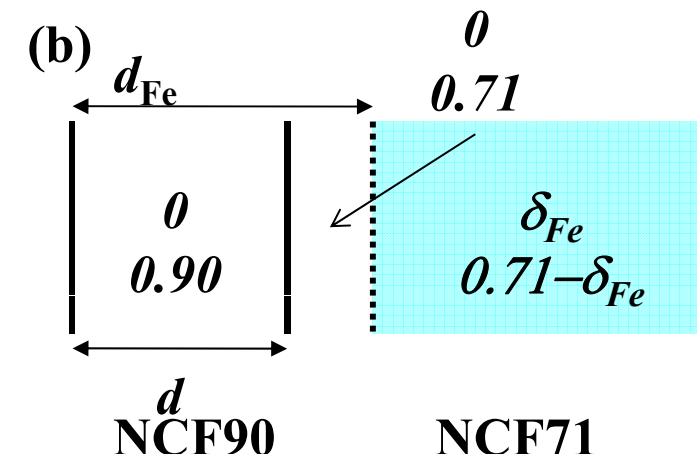
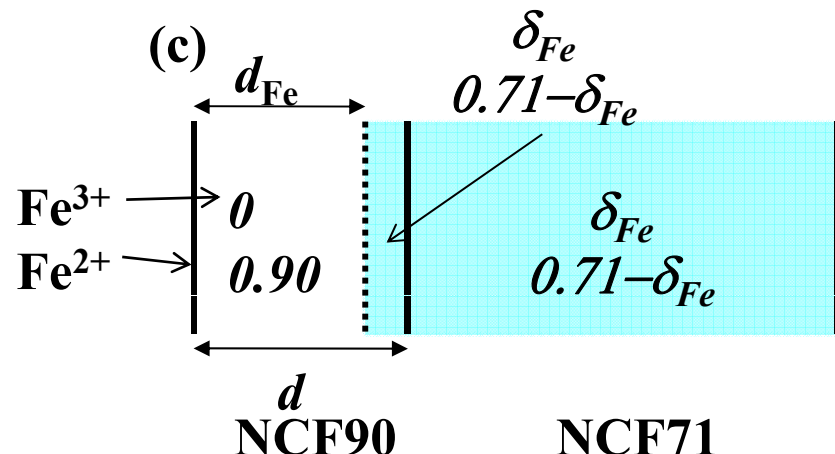
Co³⁺の分布

d_{Co} : Co³⁺の分布深さ



Fe³⁺の分布

d_{Fe} : Fe³⁺の分布深さ



<モデルの詳細:Co価数の角度依存性>

$I_{\text{Co}^{3+}} = I_{\text{Co}^{2+}}$ 仮定

$$\mu_z^{\text{Co}} \equiv \frac{d\mu_s^{\text{Co}} + (z-d)\mu_b^{\text{Co}}}{z}$$

(a) $d_{\text{Co}} \leq d$ のとき、

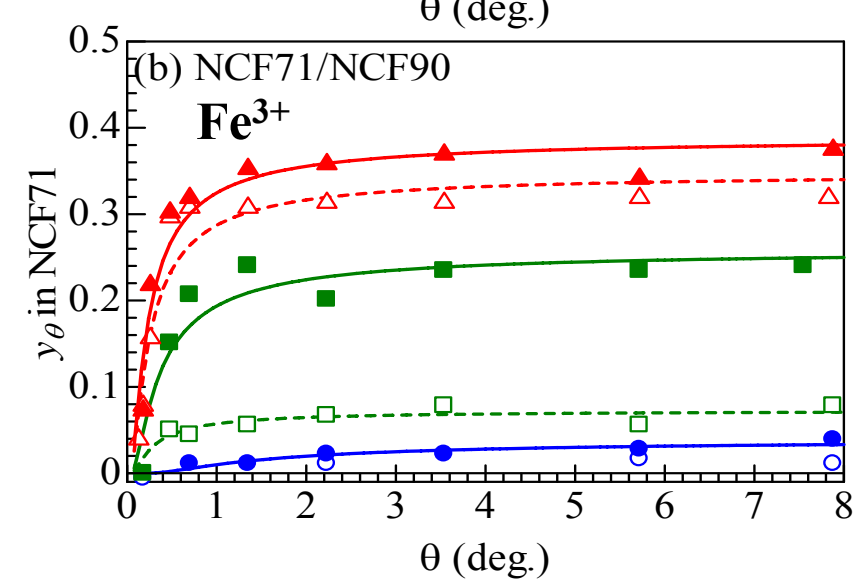
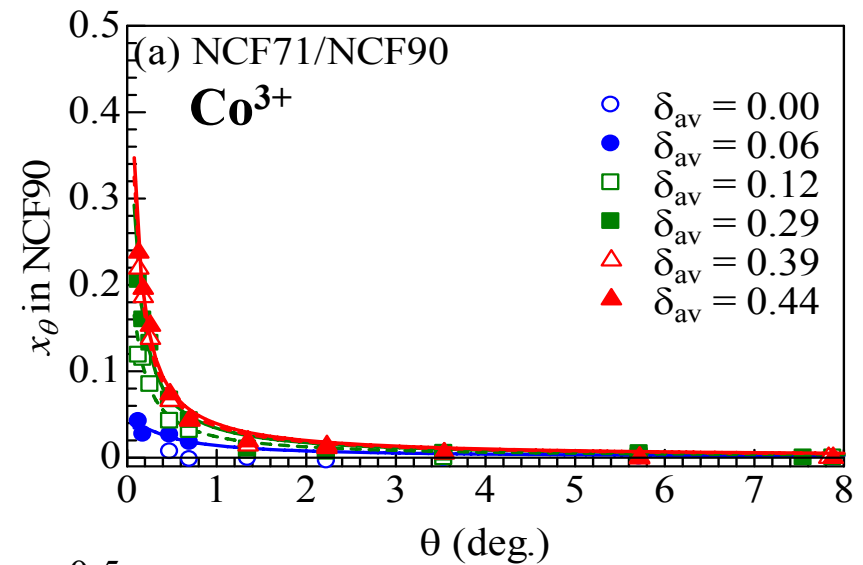
$$x_\theta = \delta_{\text{Co}} \frac{1 - e^{-\mu_s^{\text{Co}} d / \sin \theta}}{1 - e^{-\mu_s^{\text{Co}} d / \sin \theta} + (\mu_s^{\text{Co}} / \mu_b^{\text{Co}}) e^{-\mu_b^{\text{Co}} d / \sin \theta}}$$

(b) $d_{\text{Co}} \geq d$ のとき、

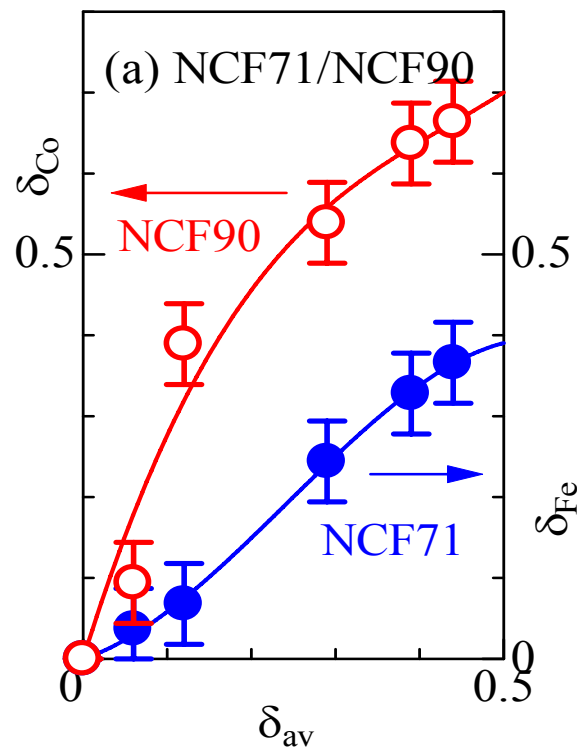
$$x_\theta = \delta_{\text{Co}} \frac{1 - e^{-\mu_s^{\text{Co}} d / \sin \theta} + (\mu_s^{\text{Co}} / \mu_b^{\text{Co}})(e^{-\mu_b^{\text{Co}} d / \sin \theta} - e^{-\mu_b^{\text{Co}} d / \sin \theta})}{1 - e^{-\mu_s^{\text{Co}} d / \sin \theta} + (\mu_s^{\text{Co}} / \mu_b^{\text{Co}}) e^{-\mu_b^{\text{Co}} d / \sin \theta}}$$

y_θ についても同様に、 $d_{\text{Fe}} \leq d$ と $d_{\text{Fe}} \geq d$ で計算。

x_θ, y_θ の角度依存性 + Fitting



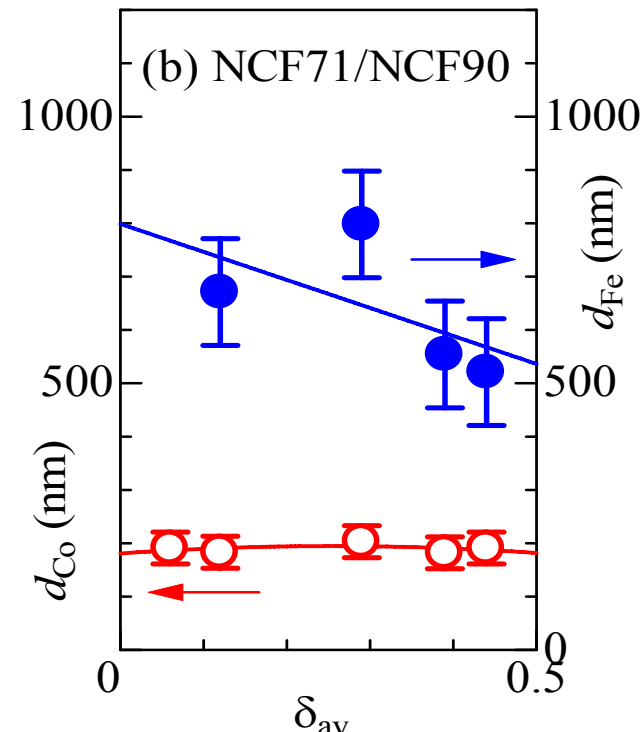
結果



NCF90層の酸化が顕著

- 表面層が電解液と接している。
- 酸化還元電位 → NCF90 < NCF71

0.29eV 0.33eV
(vs Ag/AgCl標準電極)

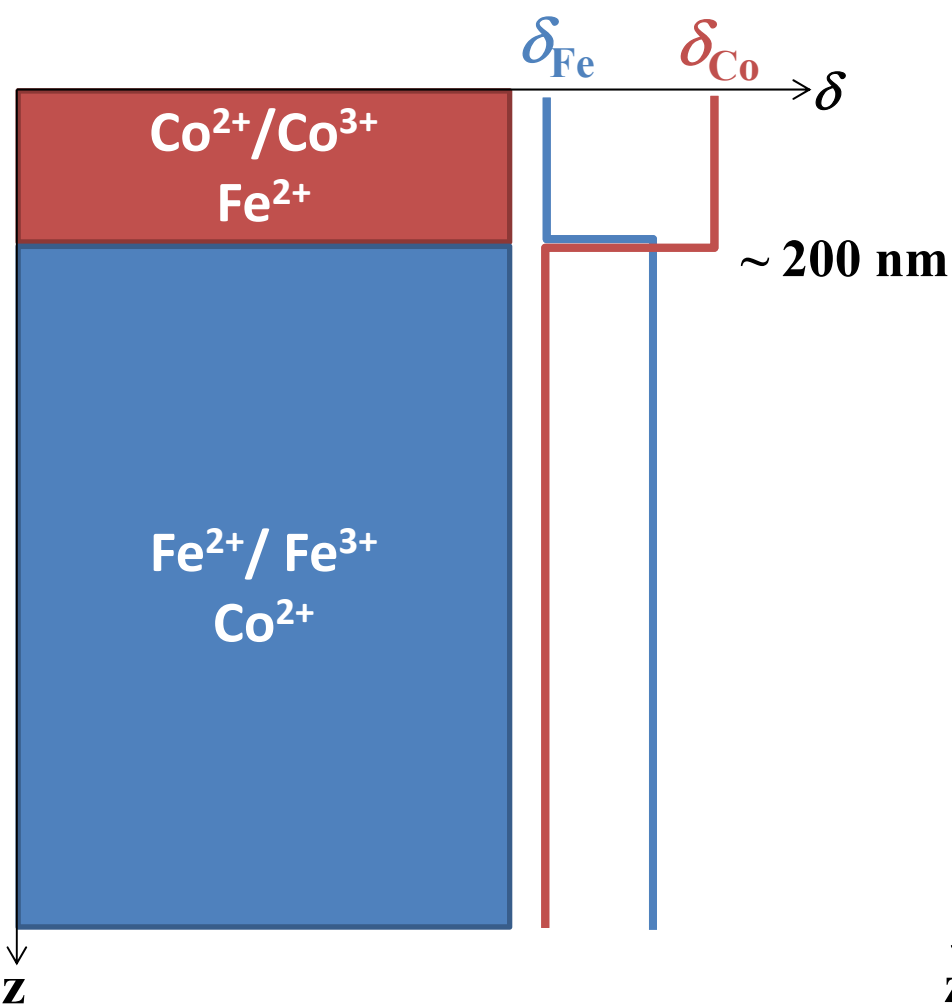


Co³⁺の分布 ~200nm
Fe³⁺の分布 ~600nm

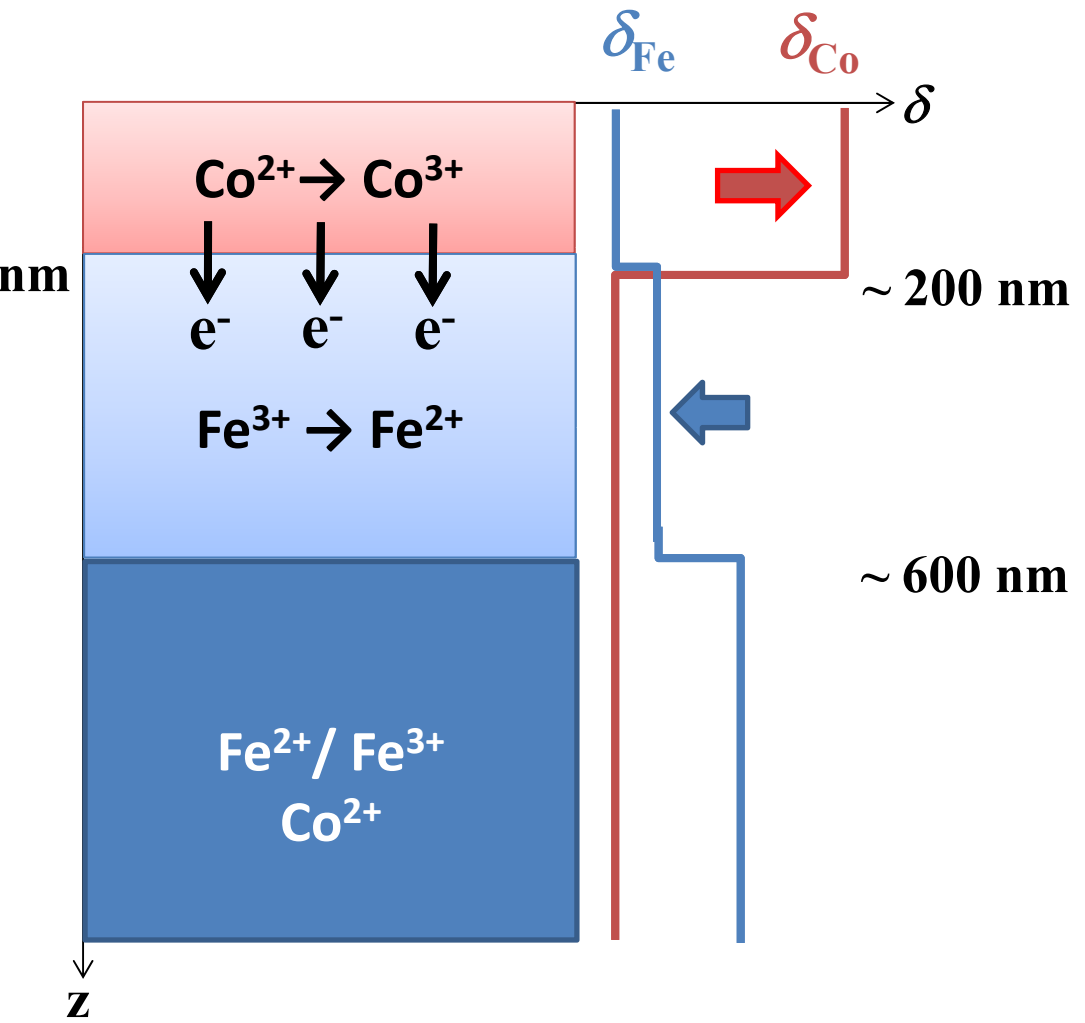
A. Oomura, et al., JJAP, in press.

エピ界面の電子状態

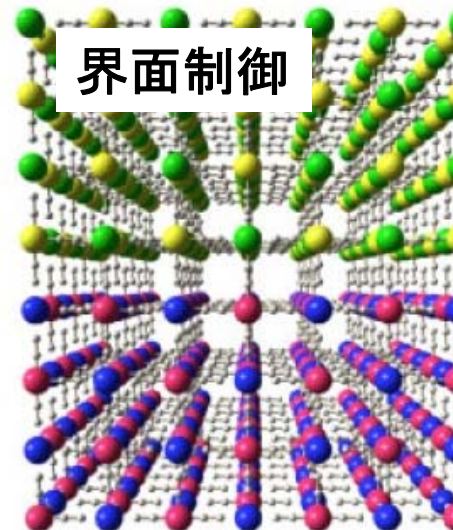
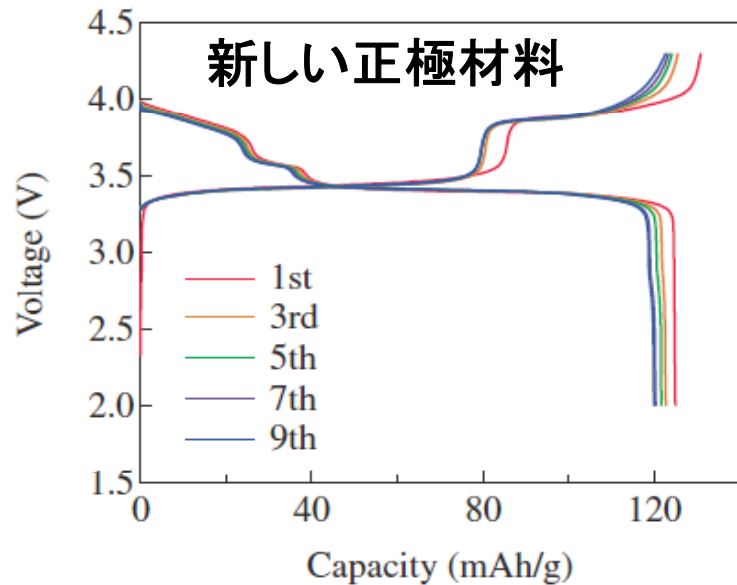
<界面で電子移動がない場合>



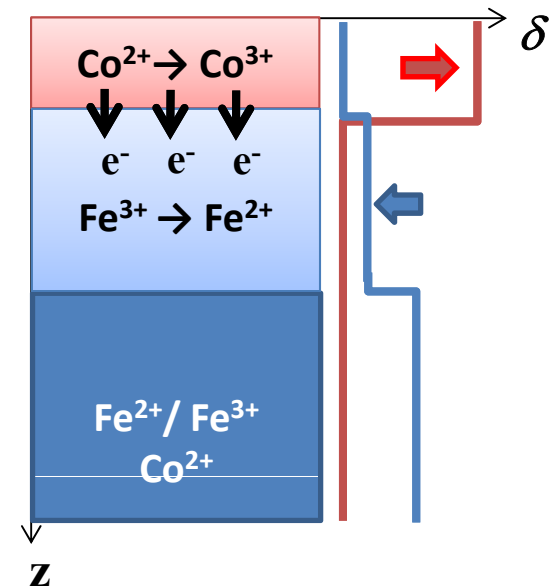
<界面で電子移動がある場合>



まとめと展望



界面の電子状態



- ① 時間分解XAFSによる深さ方向ダイナミクスの計測
- ② 界面の電子状態を積極的に利用した機能性発現

謝辞

松田智行(PD)

栗原佑太朗(M2)

大村彩子(D3)

宇留賀朋哉(JASRI)

谷田肇(JASRI)

仁谷(PF)

グリーン技術開発とサイエンスの
掘り下げには、放射光は必須アイ
テムである。